Vol. 13 No. 1, pISSN: 2303-0577 eISSN: 2830-7062

http://dx.doi.org/10.23960/jitet.v13i1.5561

OPTIMASI PEMILIHAN DAN PENGATURAN PARAMETER UNTUK MEMAKSIMALKAN EFISIENSI KONVERTER ZETA

Ahmad Riki Baihaki^{1*}, I Ketut Wiryajati², Ida Bagus Fery Citarsa³

^{1,2,3}Universitas Mataram; Jl. Majapahit No. 62, Mataram, NTB, Indonesia; (0370) 633007

Received: 20 November 2024 Accepted: 14 Januari 2025 Published: 20 Januari 2025

Keywords:

Close Loop; Component Selection; Efficiency; Zeta Converter.

Corespondent Email:

kjatiwirya@unram.ac.id

Abstrak. Konverter DC-DC yang memiliki kemampuan untuk mengubah nilai tegangan keluaran DC dari tegangan rendah ke tegangan tinggi, maupun sebaliknya yaitu Konverter Zeta. Konverter Zeta merupakan jenis Konverter DC-DC yang mampu menaikkan (Boost) atau menurunkan (buck) tegangan input menjadi tegangan output sesuai kebutuhan. Penelitian ini bertujuan untuk mengetahui nilai komponen optimal dalam menghasilkan daya keluaran yang efisien dari Konverter Zeta dengan memvariasikan nilai kapasitansi dan induktansi. Metode yang digunakan yaitu metode penelitian dengan model simulasi. Konverter Zeta dirangkai secara close loop dan dilakukan pengujian secara simulasis perangkat lunak. Parameter perancangan meliputi tegangan input 17,5 V, frekuensi switching 50 KHz, dan beban diberikan 2,2 Ω, dan tegangan keluaran 12 V. Pengujian rangkaian close loop dilakukan dengan menggunakan kontrol PI, di mana nilai KP adalah 0,05 dan KI adalah 25,56, untuk mengendalikan tegangan keluaran agar mendekati nilai set point 12 V. Parameter yang didapatkan diubah-ubah untuk mendapatkan nilai efisiensi daya tertinggi, yang terdapat pada data ke 8 dan ke 9. Data ke 8 menghasilkan efisiensi 92,833 % dan data ke 9 menghasilkan efisiensi 92,913 %. Hasil ini membuktikan bahwa variasi parameter komponen memiliki pengaruh signifikan terhadap daya keluaran dan efisiensi sistem.

Abstract. DC-DC Converter that have the ability to change the DC output voltage value from low voltage to high voltage, and vice versa is the Zeta Converter. Zeta Converter is a type of DC-DC Converter that is able to increase (Boost) or reduce (buck) input voltage to output voltage as needed. This study aims to determine the optimal component value in producing efficient output power of the Zeta Converter by varying the value of capacitance and inductance. The method used is the research method with a simulation model. The Zeta Converter is assembled in a close loop and a simulation test with software. The design parameters include an input voltage of 17,5 V, 50 KHz switching frequency, and a load is given 2,2 Ω , and the output voltage of 12 V. Close loop circuit testing is carried out using PI control, where the KP value is 0,05 and KI is 25,56, to control the output voltage to approach the value of set point 12 V. The parameters obtained are changed to get the highest power efficiency value, contained in the 8th and 9th data. The 8th data produces 92,833 % efficiency and the 9th data produces 92,913 % efficiency. These results prove that the component parameter variations have a significant influence on the output power and system efficiency.

1. PENDAHULUAN

Seiring berkembangnya teknologi, diperlukan juga komponen dan perangkat keras elektronik yang dapat mengubah tegangan *DC* (*Direct Current*) dari satu tingkat tegangan menuju tingkat tegangan lebih tinggi ataupun tingkatan tegangan yang lebih rendah sesuai kebutuhan penggunanya. Perangkat untuk mengubah tegangan *DC* ini disebut Konverter *DC-DC*. [1]

Konverter *DC-DC* yang disebut juga *DC Chopper* merupakan rangkaian elektronik yang menggunakan *switching* elektronik untuk mengubah sumber tegangan *DC* dari satu tingkat tegangan ke tingkat tegangan yang lain. Tegangan *DC* masukan dapat berasal dari sumber tegangan yang tetap atau dari sumber yang memiliki tingkat tegangan yang bisa diatur (variabel). Tegangan *DC* yang dihasilkan dapat diarahkan untuk menghasilkan tegangan *DC* yang konstan ataupun tegangan *DC* variabel sesuai kebutuhan. [2]

Terdapat 6 rangkaian Konverter *DC-DC non* isolasi yang umum digunakan yaitu, *Buck*, *Boost*, *Buck-Boost*, *Cuk*, *Sepic*, dan *Zeta*. Konverter yang tepat harus memiliki beberapa karakteristik khusus, seperti menghasilkan nilai *ripple* arus yang relatif rendah, mampu mengurangi komponen yang tidak diperlukan dalam perancangannya, mudah dalam hal integrasi, serta mampu menstabilkan karakteristik *DC-DC* Konverter itu sendiri. [3]

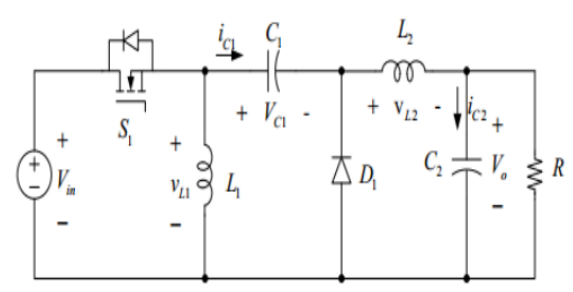
DC-DC Konverter vang memiliki kemampuan untuk mengubah nilai tegangan keluaran DC dari tegangan rendah ke tegangan tinggi, maupun sebaliknya yaitu Konverter Zeta. Kelebihan Konverter Zeta mencakup fleksibilitas tegangan output memungkinkan perangkat ini berfungsi baik sebagai *Buck* maupun *Boost* konverter. memberikan fleksibilitas dalam mengatur tegangan output sesuai kebutuhan. Selain itu, Konverter Zeta memiliki ripple tegangan rendah sehingga mampu menghasilkan tegangan output dengan riak yang sangat rendah jika didesain dengan tepat, sehingga kualitas daya yang dihasilkan lebih baik dan stabil. Kapasitor C₁ juga menyediakan isolasi kapasitif yang membantu dalam mengurangi gangguan listrik, memastikan kinerja yang lebih handal dan efisien dalam berbagai aplikasi elektronik. [4]

Pengontrol PI (Proporsional-Integral) dapat diaplikasikan dalam rangkaian Konverter Zeta untuk mengumpan balik nilai keluaran Konverter dari tegangan Zeta dengan mengontrol variabel sinyal dengan suatu nominal konstanta tertentu (KP dan KI). Pengontrol PI adalah studi khusus dari pengontrol PID, di mana derivatif dari sistem tidak digunakan. Kurangnya aksi derivatif menghasilkan sistem yang lebih stabil di wilayah steady state jika terjadi data yang overshoot, hal ini terjadi karena kinerja derivatif lebih sensitif terhadap input frekuensi yang lebih tinggi. Frekuensi switching yang digunakan pada Konverter Zeta sangat tinggi, pengontrol PΙ dipilih sehingga untuk mengamati kinerja keseluruhan. [5]

Penelitian ini bertujuan untuk merancang sebuah rangkaian Konverter Zeta guna mendapatkan nilai efisiensi tertinggi dari pemilihan nilai komponen induktor dan kapasitor. Selain itu memiliki tujuan untuk mengetahui nilai komponen optimal dalam menghasilkan daya keluaran yang efisien dari Konverter Zeta saat nilai kapasitansi dan induktansi divariasikan. Pengujian sistem secara simulasi menggunakan perangkat lunak.

2. TINJAUAN PUSTAKA

Konverter *Zeta* adalah salah satu jenis Konverter *DC-DC* yang mampu menaikkan (*Boost*) atau menurunkan (*buck*) tegangan input menjadi tegangan output sesuai kebutuhan [6]. Konverter ini dikenal karena kemampuannya untuk mengelola perubahan tegangan input yang luas dan menghasilkan tegangan output yang stabil dan teratur. Konverter *Zeta* merupakan topologi yang berguna dalam aplikasi yang memerlukan fleksibilitas tinggi dalam pengaturan tegangan. [7]



Gambar 1. Rangkaian Skematik Konverter *Zeta* [4]

Topologi dasar Konverter Zeta dapat digambarkan sebagai Gambar 1. Terdapat beberapa komponen utama, di antaranya: Induktor input (L₁): Menyimpan energi saat saklar aktif dan melepaskannya saat saklar nonaktif. Induktor output (L2): Berfungsi untuk mengalirkan energi ke beban dan menyaring arus untuk membantu mengurangi riak arus sehingga menghasilkan tegangan output yang stabil. Terdapat kapasitor (C1 dan C2) Di mana C₁ berfungsi sebagai penyimpan energi sementara saat perpindahan/siklus saklar dan menjaga kestabilan tegangan, dan C2 berfungsi untuk menyaring riak tegangan output dan menjaga tegangan output yang stabil. Saklar Aktif (S): Dapat berupa transistor MOSFET (Metal-Oxide-Semiconductor Transistor) yang dikendalikan oleh sinyal PWM Width *Modulation*) mengendalikan arus dalam rangkaian. Dioda (D): Mengarahkan aliran arus selama periode saklar nonaktif. [8], [9]

3. METODE PENELITIAN

Pengujian Konverter Zeta ini menggunakan metode penelitian dengan model simulasi. Konverter Zeta dirangkai secara close loop dan dilakukan pengujian secara menggunakan perangkat lunak. Saat pengujian rangkaian close loop, tegangan keluarannya dikendalikan dengan kontrol PI agar mendekati nilai setpoint yang diinginkan [10]. Nilai parameter yang didapatkan kemudian diubahubah sehingga mendapatkan nilai efisiensi daya tertinggi.

Perancangan Konverter Zeta dilakukan dengan simulasi pada perangkat lunak. Nilai dari masing-masing parameter yang digunakan merancang dan mensimulasikan dalam Konverter Zeta ditentukan. Tabel 1 di bawah ini menyajikan parameter yang telah ditentukan penulis untuk perancangan Konverter Zeta.

Tabel 1. Parameter Perancangan Konverter Zeta

Zetti						
Variabel	Nilai					
Tegangan <i>Input</i> (V _{in})	17,5 V					
Tegangan Output (V _o)	12 V					
Daya (P)	65 W					
Frekuensi Switching (f _s)	50 kHz					
<i>Ripple</i> Tegangan ($\Delta V_C/V_C$)	1%					

Parameter Konverter Zeta ditentukan dengan nilai dari masing-masing parameter yang tercantum pada tabel 1 di atas. Tahap selanjutnya yaitu menentukan nilai serta jenis komponen yang digunakan untuk perancangan secara kompleks. Untuk menentukan komponen yang tepat, dapat menggunakan persamaan berikut: [11]

1. Menentukan nilai duty cycle

$$D = \frac{v_o}{v_{in} + v_o}$$

$$= \frac{12}{17,5 + 12}$$

$$= 0,41$$
(1)

2. Menentukan nilai induktor

Untuk menentukan nilai induktansi L₁, terlebih dahulu mencari nilai R output:

$$P = \frac{V_0^2}{R_0} \tag{2}$$

Untuk menentukan nilai induktansi
$$L_1$$
 terlebih dahulu mencari nilai R *output*:

$$P = \frac{V_0^2}{R_0}$$

$$R_0 = \frac{V_0^2}{P}$$

$$= \frac{12^2}{65}$$

$$= 2,2 \Omega$$
Sehingga,
$$L_1 = \frac{(1-D)^2 R_0}{P}$$
(4)

$$L_{1} = \frac{(1-D)^{2}R_{0}}{2f_{s}D}$$

$$= \frac{(1-0.41)^{2}.2,2}{2.5.10^{4}.0,41}$$

$$= 18.7 \mu H$$
(4)

Kemudian untuk menentukan nilai induktansi L₂:

$$L_{2} = \frac{(1-D)R_{0}}{2f_{s}}$$

$$= \frac{(1-0.41)2.2}{2.5.10^{4}}$$

$$= 13\mu H$$
(5)

Telah didapatkan nilai $L_1=18,7\mu H$ dan $L_2=13\mu H$

3. Menentukan nilai kapasitor

Untuk menentukan nilai kapasitansi C₁, terlebih dahulu mencari nilai arus output

$$I_{O} = \frac{V_{O}}{R_{O}}$$

$$= \frac{12}{2,2}$$

$$= 5.45 A$$
(6)

Dan nilai ΔV_{C1} , dengan persamaan:

$$\Delta V_{C1} = V_{C2} = V_O = 12V \tag{7}$$

$$\frac{\Delta V_{C1}}{V_{C1}} = 1\% \tag{8}$$

$$\Delta V_{C1} = V_{C1}.1\%
= 12.1\%
= 0,12V$$
(9)

Sehingga,

$$C_1 = \frac{I_0.D}{\Delta V_{C1} f_s}$$

$$= \frac{5,45.0,41}{0,12.5.10^4}$$

$$= 372 \mu F$$
(10)

Kemudian untuk menentukan nilai kapasitansi C₂:

Rapasitalist C₂.
$$C_2 = \frac{V_0.(1-D)}{8.f_s^2.L_2.\Delta V_{C2}}$$

$$= \frac{12.(1-0.41)}{8.(5.10^4)^2.13.10^{-6}.0.12}$$

$$= 227\mu F$$
(11)

Telah didapatkan nilai $C1=372\mu F$ dan $C2=227\mu F$

Tabel 2. Daftar Jenis dan Nilai Komponen

Komponen	Nilai
Induktor L ₁	$18,7 \mu H \approx 18,5 \mu H$
Induktor L ₂	13μΗ
Kapasitor C ₁	$372\mu F \approx 370\mu F$
Kapasitor C ₂	$227\mu F \approx 230\mu F$
Resistor R _O	2,2 Ω

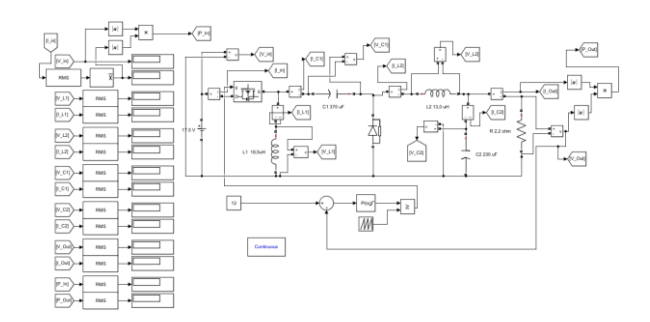
Perancangan untuk pengujian ini dilakukan simulasi pada Konverter *Zeta close loop* dengan mengkonfigurasikan nilai pengendali PI pada sistem kontrol rangkaian Konverter *Zeta* [12]. Simulasi ini dilakukan dengan mengatur nilai komponen L₁, L₂, C₁, dan C₂ sesuai tabel 3.

Tabel 3. Nilai Komponen L₁, L₂, C₁, dan C₂

No.			C ₁ (µF)	C ₂ (µF)
1	15	9,5	300	160
2	15,5	10	310	170
3	16	10,5	320	180
4	16,5	11,0	330	190
5	17	11,5	340	200
6	17,5	12,0	350	210
7	18	12,5	360	220
8	18,5	13,0	370	230
9	19	13,5	380	240
10	19,5	14,0	390	250
11	20	14,5	400	260

Pada tabel 3, data ke-8 merupakan nilai komponen L₁, L₂, C₁ dan C₂ sesuai dengan perhitungan sebelumnya. Kemudian nilai komponen divariasikan L₁ dari 15 μH hingga 20

 μ H, L_2 dari 9,5 μ H hingga 14,5 μ H, C_1 dari 300 μ F hingga 400 μ F, dan C_2 dari 160 μ F hingga 260 μ F untuk mendapatkan data ke berapa yang dapat menghasilkan efisiensi Konverter *Zeta*.



Gambar 2. Model Rangkaian Konverter *Zeta Close Loop* dengan Perangkat Lunak

Gambar 2 merupakan model rangkaian Konverter *Zeta Close Loop* yang digunakan pada penelitian optimasi pemilihan dan pengaturan parameter untuk memaksimalkan efisiensi Konverter *Zeta*.

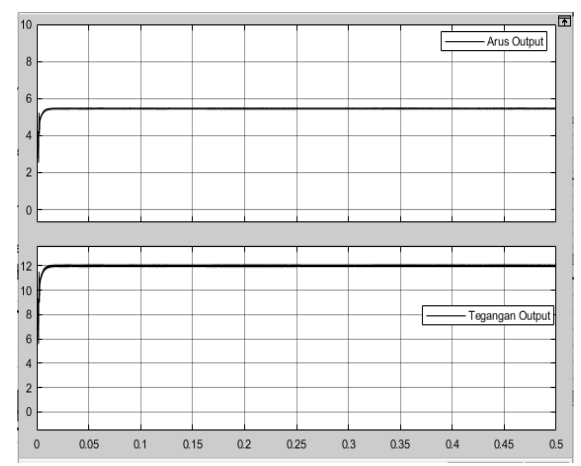
4. HASIL DAN PEMBAHASAN

Pengujian ini dilakukan untuk mengevaluasi keberhasilan sistem kerja Konverter Zeta dalam kondisi close loop. Uji coba dilakukan melalui simulasi dengan frekuensi switching sebesar 50 kHz, menggunakan tegangan masukan sebesar 17,5 V. Tegangan keluaran dikendalikan pada nilai setpoint sebesar 12 V dengan pengontrol Proportional-Integral (PI) yang memiliki parameter gain KP=0,05 dan KI=25,56. Dalam proses pengujian, nilai komponen induktor (L1 dan L2) serta kapasitor (C1 dan C2 diubah-ubah sesuai dengan parameter yang telah ditetapkan dalam Tabel 3. Variasi ini bertujuan untuk menganalisis perubahan karakteristik konverter terhadap berbagai konfigurasi nilai komponen. Data yang dikumpulkan meliputi tegangan dan arus pada masingmasing komponen (L1, C1, dan C2), serta daya masukan dan daya keluaran. Selain itu, parameter kesalahan (error) antara tegangan keluaran aktual dengan setpoint yang diinginkan juga dianalisis guna menilai efektivitas pengontrol PI dalam mempertahankan stabilitas tegangan. Efisiensi konverter dihitung dengan membandingkan daya keluaran terhadap daya masukan pada setiap variasi parameter.

Tabel 4. Hasil Pengukuran Tegangan dan Arus Masing-Masing Komponen

V_{L1}	I_{L1}	V_{L2}	I_{L2}	V_{C1}	I_{C1}	V_{C2}	I_{C2}
(V)	(A)	(V)	(A)	(V)	(A)	(V)	(A)
0,071	0,355	0,049	0,336	12,05	0,335	11,93	5,760
0,062	0,295	0,047	0,296	12,05	0,295	11,94	5,724
0,054	0,254	0,046	0,255	12,05	0,254	11,95	5,685
0,111	0,229	0,027	0,230	12,05	0,229	11,96	5,667
0,147	0,190	0,072	0,190	12,04	0,190	11,97	5,631
0,813	0,169	0,884	0,171	12,04	0,168	11,97	5,613
1,275	0,135	1,343	0,139	12,05	0,135	11,98	5,583
2,357	0,112	2,415	0,118	12,04	0,112	11,98	5,565
12,9	0,172	12,78	0,039	12,01	0,172	11,98	5,408
12,86	0,359	12,77	0,229	12,06	0,358	11,97	5,211
12,86	0,218	12,78	0,370	12,06	0,217	11,98	5,076

Hasil pengukuran tegangan dan arus masing-masing komponen dapat dilihat pada tabel 4. Data ke-8 menggunakan nilai komponen sesuai dengan perhitungan menunjukkan bahwa nilai arus L_1 , L_2 , dan C_1 memiliki nilai terkecil jika dibandingkan dengan data lainnya.



Gambar 3. Pengukuran Arus Output dan Tegangan Output Konverter *Zeta*

Hal ini menandakan bahwa komponen yang digunakan pada data ke-8 merupakan komponen yang paling sedikit mengkonsumsi arus listrik. Namun untuk C₂ yang lebih sedikit

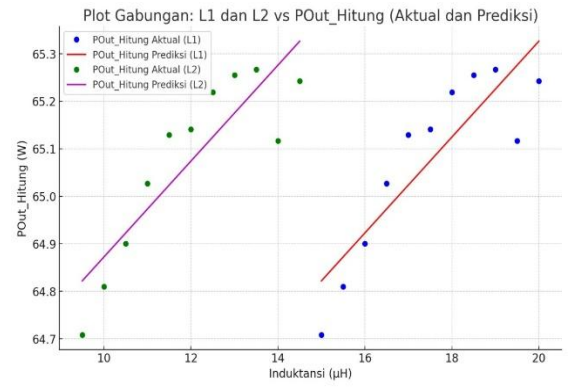
mengkonsumsi arus terletak pada data ke-11. Hal ini dapat terjadi karena nilai C₂ pada data ke-11 lebih besar dari data yang lain, komponen lain juga memengaruhi

Pada gambar 3 menunjukkan bentuk gelombang nilai arus keluaran dan tegangan keluaran yang dilihat menggunakan *scope* pada Perangkat lunak. Nilai arus tegangan sebesar 5,42 A dan tegangan keluaran sebesar 11,93 V mendekati nilai *setpoint* 12 V. Data masingmasing data dapat dilihat pada tabel 5, dengan menggunakan nilai komponen L dan C yang berbeda-beda.

Tabel 5. Daya *input* dan Daya *Output* serta *Error* dan Efisiensi

\mathbf{L}_{1}	L_2	C ₁	C ₂	P _{In}	P _{Out}	P _{Out}	Err	Efisi
(μH)	(μ H)	(μF)	(µF)	(W)	(W)	(W)	(%)	(%)
15	9,5	300	160	69,92	64,708	64,72	0,018	92,563
15,5	10	310	170	69,96	64,810	64,82	0,015	92,653
16	10,5	320	180	70	64,900	64,88	0,032	92,686
16,5	11,0	330	190	70,13	65,027	65,05	0,036	92,756
17	11,5	340	200	70,17	65,129	65,13	0,002	92,817
17,5	12,0	350	210	70,19	65,141	65,16	0,030	92,834
18	12,5	360	220	70,23	65,219	65,21	0,014	92,852
18,5	13,0	370	230	70,32	65,255	65,28	0,038	92,833
19	13,5	380	240	70,27	65,267	65,29	0,035	92,913
19,5	14,0	390	250	70,18	65,117	65,1	0,026	92,761
20	14,5	400	260	70,32	65,243	65,25	0,011	92,790

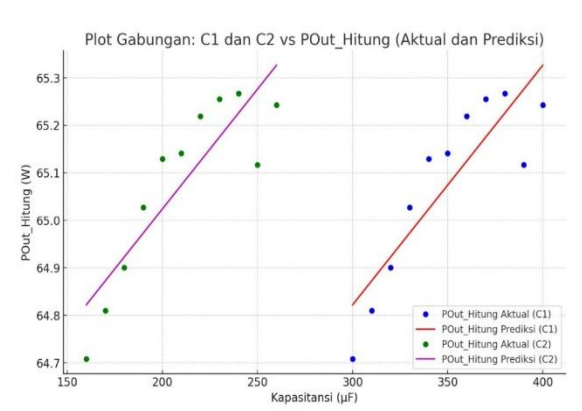
Tabel 5 merupakan hasil pengukuran daya masukan, tegangan keluaran, arus keluaran, daya keluaran, dan hasil perhitungan daya keluaran yang dihitung menggunakan persamaan P=VxI. Terdapat selisih antara daya keluaran ukur dengan daya keluaran hitung yang disebut juga dengan *error*. Nilai *error* tertinggi terdapat pada data ke-8 dengan nilai 0,038 % dan nilai *error* terendah pada data ke-5 dengan nilai 0,002 %.



Gambar 4. Grafik Hubungan Induktansi terhadap Daya Keluaran P_{Out Hitung}

Efisiensi dari Konverter Zeta dapat dilihat bahwa efisiensi tertinggi terdapat pada data ke-9 senilai 92,913 %, sedangkan efisiensi terendah pada data ke-1 yang memiliki efisiensi senilai 92,563 %.

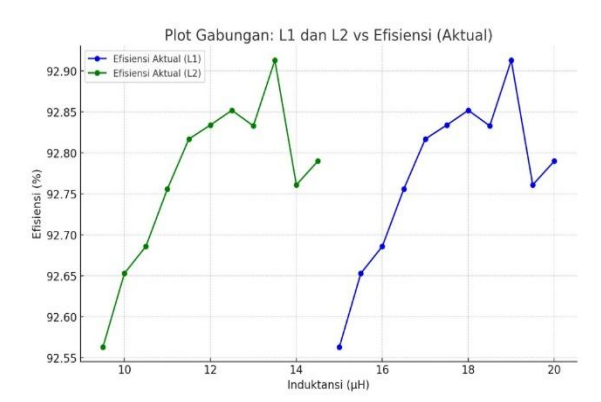
Pada gambar 4 dapat dilihat bahwa pada L₁ ketika nilai induktansi yang diberikan semakin meningkat dari 15 µH hingga 20 µH, maka cenderung menghasilkan peningkatan daya keluaran aktual, sehingga didapatkan hasil grafik daya keluaran prediksi yang meningkat dari sekitar 64,8 W hingga 65,4 W. Begitu juga dengan L2, ketika nilai induktansi yang diberikan semakin meningkat dari dari 9,5 µH hingga 14,5 µH, maka cenderung menghasilkan peningkatan daya keluaran aktual, sehingga didapatkan hasil grafik daya keluaran prediksi yang meningkat dari sekitar 64,8 W hingga 65,4 W. Dapat dikatakan bahwa meningkatnya nilai induktansi L1 dan L2 mempengaruhi kenaikan Pout Hitung.



Gambar 5. Grafik Hubungan Kapasitansi terhadap Daya Keluaran P_{Out Hitung}

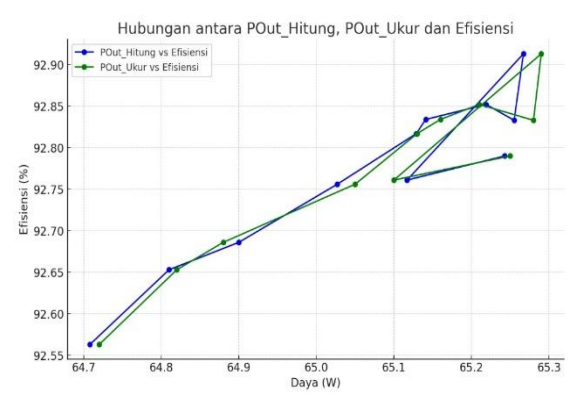
Pada gambar 5 dapat dilihat bahwa pada C_1 ketika nilai kapasitansi yang diberikan semakin meningkat dari 300 μ F hingga 400 μ F, maka cenderung menghasilkan peningkatan daya keluaran aktual, sehingga didapatkan hasil grafik daya keluaran prediksi yang meningkat dari sekitar 64,8 W hingga 65,4 W. Begitu juga dengan C_2 , ketika nilai kapasitansi yang diberikan semakin meningkat dari dari 160 μ F hingga 260 μ F, maka cenderung menghasilkan peningkatan daya keluaran aktual, sehingga didapatkan hasil grafik daya keluaran prediksi yang meningkat dari sekitar 64,8 W hingga 65,4 W. Dapat dikatakan bahwa meningkatnya nilai

kapasitansi C_1 dan C_2 mempengaruhi kenaikan $P_{\text{Out Hitung}}$.



Gambar 6. Grafik Hubungan Induktansi terhadap Efisiensi

Pada gambar 6 terdapat data L_1 dan L_2 terhadap efisiensi, namun peningkatan tidak stabil dan terdapat fluktuasi dalam efisiensi pada beberapa nilai induktansi. Dapat dilihat bahwa pada L_1 , ketika nilai induktansi yang diberikan semakin meningkat dari 15 μ H hingga 20 μ H titik efisiensi tertinggi terletak pada nilai induktansi 19 μ H. Sedangkan pada L_2 , ketika nilai induktansi yang diberikan semakin meningkat dari 9,5 μ H hingga 14,5 μ H, titik efisiensi tertinggi terletak pada nilai induktansi 13,5 μ H.



Gambar 7. Grafik Hubungan P_{Out Hitung} POut Ukur dan Efisiensi

Pada gambar 7 menunjukkan hubungan antara daya keluaran hitung, daya keluaran ukur dan efisiensi. Grafik menunjukkan bahwa seiring peningkatan daya output dari sekitar 64,7 W hingga 65,3 W, efisiensi juga meningkat dari sekitar 92,563 % hingga 92,913 %. Peningkatan efisiensi terlihat lebih stabil di

kisaran daya 64,7 W hingga 65,2 W, tetapi terjadi sedikit fluktuasi di kisaran daya lebih tinggi sekitar 65,2 W ke atas. Hal ini dapat mengindikasikan bahwa pada saat daya tertentu, efisiensi sistem mencapai titik optimal dan mulai mengalami variasi kecil. Kemudian tertinggi didapatkan pada angka 92,913 %. Secara keseluruhan, kesesuaian antara daya keluaran hitung dengan daya keluaran ukur cukup baik, menunjukkan bahwa perhitungan daya cukup akurat dalam mencerminkan hasil pengukuran daya aktual.

5. KESIMPULAN

Berdasarkan hasil pengujian, penelitian ini menunjukkan bahwa pengaturan parameter optimal pada komponen induktor (L1, L2) dan kapasitor (C₁, C₂) sangat penting untuk memaksimalkan efisiensi Konverter Zeta dalam konversi tegangan DC-DC. Melalui simulasi dengan perangkat lunak, ditemukan bahwa penggunaan nilai induktansi dan kapasitansi yang tepat, seperti yang diuji pada data ke-8 dan ke-9, dapat meningkatkan efisiensi hingga 92,913 %, dengan error yang minim. Hal ini bahwa variasi membuktikan parameter komponen berpengaruh signifikan terhadap daya keluaran dan efisiensi yang dihasilkan.

Selain itu, peningkatan nilai induktansi dan kapasitansi umumnya meningkatkan daya keluaran hingga titik tertentu, di mana efisiensi mencapai kondisi optimal sebelum mengalami sedikit fluktuasi. Hasil ini mendukung relevansi Konverter Zeta untuk aplikasi membutuhkan pengaturan tegangan fleksibel dan efisien. Penelitian ini dapat menjadi referensi untuk optimasi desain Konverter DC-DC, khususnya dalam sistem tenaga listrik yang memerlukan efisiensi tinggi dan stabilitas daya yang optimal.

UCAPAN TERIMA KASIH

Terima kasih diucapkan kepada Jurusan Teknik Elektro Fakultas Teknik Universitas Mataram dan Kelompok Penelitian Elektronika daya dan Kendali Motor yang telah memberikan banyak dukungan dan sarana penelitian selama mengerjakan pengujian ini.

DAFTAR PUSTAKA

[1] H. Buntulayuk, F. A. Samman, and Y. Yusran, "Rancangan DC-DC Converter untuk Penguatan Tegangan," *Jurnal Penelitian*

- *Enjiniring*, vol. 21, no. 2, pp. 78–82, Jan. 2018, doi: https://doi.org/10.25042/jpe.112017.12.
- [2] T. Sutikno and H. S. Purnama, *KONVERTER DC-DC: Prinsip & Aplikasi*, 1st ed. Yogyakarta: UAD Press, 2020.
- [3] Destiarani, I Ketut Wiryajati, and I Nyoman Wahyu Satiawan, "Analisis dan Simulasi Efisiensi Kinerja Sepic Konverter Berbasis Kontroler Konvensional," *Sci-tech Journal*, vol. 2, no. 2, pp. 265–275, Apr. 2024, doi: https://doi.org/10.56709/stj.v2i2.184.
- [4] M. Chewale, R. A.Wanjari, A. B.Savakhande, and P. R.Sonawane, "A Review Isolated and Non-isolated DC-DC Converter for PV Application," International Control, Conference onCommunication and Computing Technologies (ICCPCCT), pp. 399-404 Mar. https://ieeexplore.ieee.org/stamp/stamp.jsp?tp =&arnumber=8574312
- [5] Mirza Muntasir Nishat, M. Abdul, F. Faisal, and M. A. Hoque, "Modeling, Simulation and Performance Analysis of SEPIC Converter Using Hysteresis Current Control and PI Control Method," *International Conference on Innovations in Science, Engineering and Technology (ICISET)*, pp. 7-12, Oct. 2018, doi: https://doi.org/10.1109/iciset.2018.8745619.
- [6] E. Duran, S.P. Litran, M. B. Ferrera, and J. M. Andujar, "A Zeta-Buck-Boost converter combination for Single-Input Multiple-Output applications," *IECON*, vol. 54, pp. 1251–1256, Oct. 2016, doi: https://doi.org/10.1109/iecon.2016.7793183.
- [7] S. Shringi, S. K. Sharma, U. Gupta, and K. Singh, "Comparative Study of Cuk, Zeta, Buck-Boost, Buck Converter in a Standalone PV System," *International Journal of Engineering Research & Technology (IJERT)*, vol. 8, no. 9, pp. 675-680, Sept. 2019.
- [8] N. Vosoughi, M. Abbasi, E. Abbasi, and M. Sabahi, "A Zeta-based switched-capacitor DC-DC converter topology," *International Journal of Circuit Theory and Applications*, May 2019, doi: https://doi.org/10.1002/cta.2647.
- [9] R Shruthi, Rajagiri Anil Kuamr, B. Anusha, M. K. Uma, and Nadella Sree Samanvitha, "Zeta Converter Based Battery Charger for Ev," E3S web of conferences, vol. 391, no. 01098, pp. 1–8, Jan. 2023, doi: https://doi.org/10.1051/e3sconf/202339101098.
- [10] R. Hakim, I. K. Wiryajati, and I. B. F. Citarsa, "EVALUASI KINERJA BUCK-BOOST KONVERTER BERBASIS KONTROLER KONVENSIONAL," *Jurnal Informatika dan Teknik Elektro Terapan*, vol. 12, no. 2, pp.

- 1443-1449, Apr. 2024, doi: https://doi.org/10.23960/jitet.v12i2.4262.
- [11] A. B. Jørgensen, "Derivation, Design and Simulation of the Zeta converter," *TechRxiv*, pp. 1-5, Oct. 2021, doi: https://doi.org/10.36227/techrxiv.16732825.v1
- [12] S. Sharma and R. Diwan, "ZETA Converter with PI Controller," *International Journal of Engineering Trends and Technology*, vol. 67, no. 2, pp. 33–36, Feb. 2019, doi: https://doi.org/10.14445/22315381/ijett-v67i2p207.